

## بررسی تحلیلی و عددی ایده راکتور هیبرید شکافت – همجوشی دو پوششی

\* زینب قلیکانی، عباس قاسمی زاد\*

گروه فیزیک، دانشکده علوم، دانشگاه گیلان

**چکیده:** در این مقاله ایده یک راکتور هیبرید شکافت – همجوشی نوعی که با یک لیزر شروع به کار می‌کند، پیشنهاد و مورد بررسی قرار گرفته است. در راکتور مورد بررسی که از یک اتاقک همجوشی داغ، یک مولد لیزری پمپ کننده هسته‌ای و دو پوشش جفت شده زیر بحرانی تشکیل شده، پارامترهای نوترونیک راکتور، مانند ضریب تکثیر نوترون و ضریب تکثیر انرژی را بررسی نموده ایم. نتایج نشان داده است که این سیستم همیشه تحت شرایط زیر بحرانی عمل کرده و انرژی در این سیستم بصورت آبشاری تکثیر می‌شود.

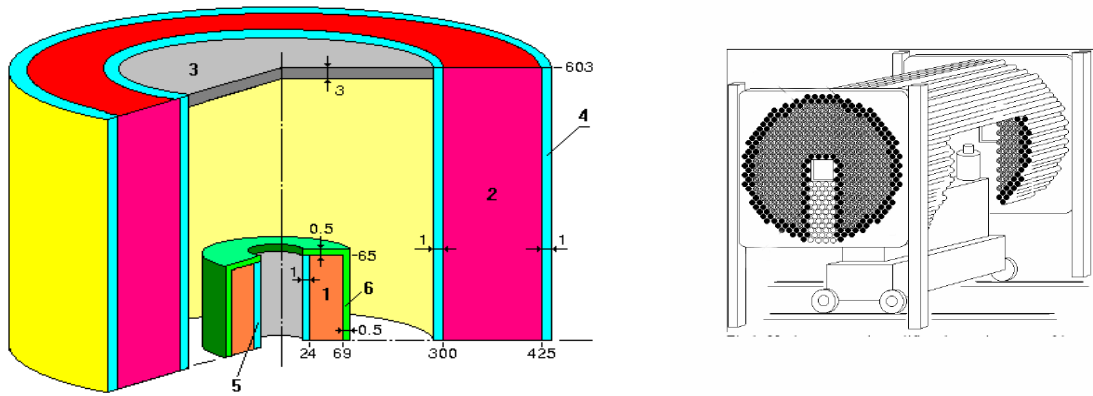
**کلید واژه:** راکتور هیبرید شکافت – همجوشی، مولد لیزری، پارامترهای نوترونیک، ضریب تکثیر نوترون

**مقدمه:** قلب یک راکتور همجوشی نوعی را می‌توان توسط پوششی مهار نمود که در آن، نوترونها ناشی از واکنش همجوشی، زایش سوخت شکافت پذیررا انجام دهد. به چنین سیستمی، سیستم هیبرید شکافت – همجوشی گفته می‌شود. سوخت شکافت پذیرزایش شده در این سیستم، برای تامین سوخت راکتور مورد استفاده قرار می‌گیرد. با این روش ذخیره انرژی، قیدهای توازن انرژی در اجزای راکتور همجوشی کم می‌شود<sup>[۱]</sup>. علاوه بر این، مزایای دیگری که این سیستم ها دارند درین آنها می‌توان، تولید بیشتر توان الکتریکی نسبت به راکتورهای همجوشی معادل، آهنگ زایش سریع تر سوخت شکافت پذیر نسبت به راکتورهای شکافت خالص واژ همه مهم تر اینمی‌بیشتر آنها نسبت به راکتورهای سریع زاینده اشاره نمود. اما باید توجه داشت که اینگونه سیستم ها، مشکلاتی نیز دارند که مهمترین آنها عبارتند از: ترکیب خطرات دو سیستم، ترکیب پیچیدگی وسایل برگرداندن ترتیبیم در راکتور همجوشی با مسائل پس ماند رادیواکتیو شکافت و پیشرفت و پیچیده بودن کار خنک کردن و شرایط هندسی چنین سیستمی نسبت به هر سیستم خالص دیگر.

**شرح مدل و محاسبات:** راکتور هیبرید شکافت – همجوشی مورد بررسی از یک سیستم همجوشی محصور شدگی اینرسی و اداشته با لیزر تشکیل شده است. لیزر مورد استفاده، یک نوع لیزر هسته‌ای است که عمل پمپ کردن در آن توسط انرژی هسته‌ای حاصل از شکافت هسته<sup>۲۳۵U</sup> صورت می‌گیرد و علاوه بر این دارای بازدهی بسیار بالایی نسبت به لیزرهای دیگر می‌باشد. لیزر پمپ کننده هسته‌ای (Nuclear Pumping

\* ghasemi@guilan.ac.ir

(Laser)، همان طور که در شکل(۱) نشان داده شده از یک راکتور سریع پالسی و پریو دیک دارای دو قلب تشکیل شده، که توسط مدول لیزر احاطه شده است. مدول لیزر شامل عناصر فعال لیزر و کپی محیط فعال لیزر و مواد کند کننده نوترون می باشد.<sup>[۲]</sup> نحوه عمل در لیزر پمپ کننده هسته ای به این ترتیب است که نوترونهای حاصل از احتراق راکتور سریع ضمن عبور از مدول لیزر، کند شده و یک واکنش زنجیره ای شکافت هسته  $^{235}\text{U}$  را پوشش ماده فعال لیزر القا می کند. پاره های شکافت که یونهایی با انرژی بالا هستند، در مخلوط گاز آرگون و زنون پراکنده شده و پلاسمایی با وارونی فراوانی از ترازها ایجاد می کنند. انرژی ذخیره شده در وارونی فراوانی، بوسیله ابزار اپتیکی استخراج می شود.<sup>[۲]</sup>



شکل(۱): ساختمان لیزر پمپ کننده هسته ای<sup>[۲]</sup> [۲] شکل(۲): ساختمان یک راکتور هیبرید شکافت-همجوشی نوعی<sup>[۳]</sup>

### ۱- ساختمان راکتور هیبرید و نحوه عملکرد آن

همانگونه که در شکل (۲) نشان داده شده است ، قلب راکتور هیبرید، شامل اتفاقک همجوشی و اولین دیواره است. پوشش درونی راکتور ، شامل یک راکتور سریع زیر بحرانی مجهر به سیستم خنک کننده حاوی فلز سدیم مایع و پوشش خارجی ، یک راکتور آب سنگین زیر بحرانی می باشد. به منظور کاهش ضربی جفت شدگی بین دو پوشش حرارتی و سریع ، پوششی از جنس کربیدبور قرار گرفته و هم چنین بالا و پایین سیستم هیبرید، توسط بازتابنده های نوترون از جنس بریلیوم، احاطه شده است . انرژی آزاد شده از مولد لیزر که بوسیله یک راکتور پالسی و پریو دیک کنترل می شود، به یک باریکه لیزر تبدیل می شود. انرژی این باریکه لیزری  $E_{\text{Laser}}$  ، بر اساس روش همجوشی محصور شدگی لختی، واکنش همجوشی رالنجام می دهد و متعاقباً مقداری انرژی و بعلاوه تعدادی نوترون آزاد می گردد. انرژی حاصل از سوختن سوخت همجوشی،  $E_{\text{burn}}$  ، در اتفاقک همجوشی ، در پوشش ذخیره شده و از طرف دیگر نوترونها ایجاد شده، وارد پوششهای اطراف محفظه همجوشی می گردد . بدین ترتیب واکنشهای شکافت هسته ای در این پوشش ها صورت می گیرد که در طی آن مقدار دیگری انرژی آزاد می شود. نهایتاً سیستم خنک کننده در هر دو پوشش جفت شده، یک

انرژی خالص آزاد شده  $E_1, E_2$  در طول یک پریود جذب کرده و توسط سیستم‌های مولد بخار تبادلی و توربین، انرژی گرمایی آنها به توان و انرژی الکتریکی خروجی،  $E_{el}$ ، تبدیل می‌شود. بنابراین خواهیم داشت:

$$E_{el} = E_1 + E_2 + E_{burn} \quad (1)$$

ناشی از سوختن سوخت همجوشی با روش‌های مستقیم به  $E_{burn}$  می‌تواند تبدیل شود، به منظور جبران ترتیم مصرف شده، میتوان پوشش خارجی را به یک اتفاق زایش ترتیم حاوی لیتیم مجهز نمود [۳].

## ۲- بررسی پارامترهای نوترونیک راکتور هیبرید

برای اینکه یک راکتور هیبرید در توان ثابت کار کند، باید بین نوترونهای تولید شده از طریق فرآیندهای شکافت و همجوشی و نوترونهای از دست رفته از طریق جذب و نشت، تعادل برقرار باشد. این تعادل به تغییر تعداد نوترونها و سطح توان راکتور بستگی دارد. بر این اساس می‌توانیم معادلات دینامیکی یک راکتور هیبرید نوعی را بصورت زیر بنویسیم.

$$l_1 \frac{dn_1}{dt} = [k_{11}(1 - \beta_1) - 1]n_1 + k_{12}(1 - \beta_2)n_2 + \sum_{i=1}^D k_{1i}\lambda_{1i}C_{1i} + \sum_{i=1}^D k_{12}\lambda_{2i}C_{2i} + S_1 \quad (2)$$

$$l_2 \frac{dn_2}{dt} = [k_{22}(1 - \beta_2) - 1]n_2 + k_{21}(1 - \beta_1)n_1 + \sum_{i=1}^D k_{2i}\lambda_{2i}C_{2i} + \sum_{i=1}^D k_{1i}\lambda_{1i}C_{1i} + S_2 \quad (3)$$

$$\frac{dC_{1i}}{dt} = \beta_1 n_1 - \lambda_{1i} C_{1i} \quad (4)$$

$$\frac{dC_{2i}}{dt} = \beta_2 n_2 - \lambda_{2i} C_{2i} \quad (5)$$

که  $n_j$  توان در پوشش اول و دوم،  $l_j$  طول عمر متوسط نوترونهای آنی،  $K_{jj}$  ضریب تکثیر،  $K_{ij}$  ضریب جفت شدگی،  $\beta_{ji}$  کسر نوترون‌های تأخیری،  $\lambda_{ji}$  ثابت واپاشی،  $C_{ji}$  چگالی نیا هسته‌ها،  $D_j$  تعداد گروه نوترونهای تأخیری و  $S_j$  تابع توزیع چشمۀ می باشد.

معادلات فوق، معادلات جفت شده غیرخطی هستند و شرایط اولیه برای آنها عبارت است از:

$$n_1(0) = n_1(\tau_p) \quad , \quad n_2(0) = n_2(\tau_p) \quad (6)$$

$$C_{1i}(0) = C_{1i}(\tau_p) \quad , \quad C_{2i}(0) = C_{2i}(\tau_p) \quad (7)$$

پارامترهای مورد نیاز در محاسبات یک راکتور هیبرید شکافت-همجوشی نوعی عبارت است از [۴] :

$$K_{11} = K_{22} = 0.94 \quad ; \quad K_{21} = 0.25 \quad ; \quad K_{12} = 0.0015 \quad ; \quad \beta_1 = \beta_2 = 0.007 \quad ; \quad \tau_p = 1\text{Sec} \quad ; \quad \varepsilon_1 = 0.5$$

$$l_1 = 4.5 * 10^{-7} \text{ Sec} \quad ; \quad l_2 = 3.5 * 10^{-4} \text{ Sec} \quad ; \quad I = 3 * 10^{15} \quad ; \quad \lambda_1 = 0.055 \text{ Sec}^{-1} \quad ; \quad \lambda_2 = 0.08 \text{ Sec}^{-1}$$

برای سادگی، تابع توزیع چشمۀ را می‌توان بر حسب تابع دلتای دیراک بصورت زیر نوشت:

$$S = \varepsilon I \delta(\tau) \quad (8)$$

که I نوترونهای خالص خروجی از ساقمه سوخت همجوشی،  $\varepsilon$  ضریب بهره و  $\tau_p$  دوره تناوب می‌باشد. حال می‌توانیم بررسی پارامترهای نوترونیک را برای یک راکتور هیبرید شکافت-همجوشی ارائه شده با استفاده از

ثابت‌های راکتوری مشخص ارائه شده در بالا نجام دهیم. بر اساس معادلات دینامیکی غیر خطی جفت شده (۲-۵) و شرایط اولیه (۶) و (۷) و حل عددی این معادلات با استفاده از روش عددی رانگ-کوتای مرتبه ۴ موجود در نرم افزار ریاضی مطلب (MATLAB) به نتایج جالبی دست یافته‌ایم. این نتایج عبارتند از:

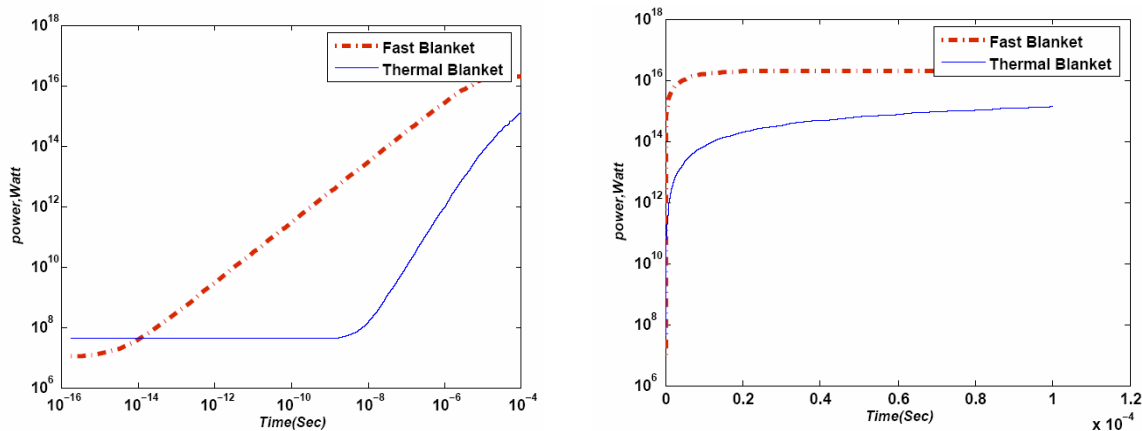
الف-اگر تولیدنوترون‌های تأخیری را در نظر نگیریم در این صورت معادلات (۲-۵) به صورت زیرنوشته می‌شود:

$$l_1 \frac{dn_1}{dt} = [K_{11}(1-\beta_1) - 1]n_1 + K_{12}(1-\beta_2)n_2 \quad (9)$$

$$l_2 \frac{dn_2}{dt} = [K_{22}(1-\beta_2) - 1]n_2 + K_{21}(1-\beta_1)n_1 \quad (10)$$

$$n_1(0) = n_1^b + \frac{I\epsilon}{l_1} \quad ; \quad n_2(0) = n_2^b \quad (11)$$

باتوجه به مقادیر اولیه، نمودار تغییرات توان بر حسب زمان رسم نموده و در شکل‌های (۳) و (۴) ارائه نموده ایم.



شکل (۳) : نمودار تغییرات توان بر حسب زمان در راکتورهای بدون در نظر گرفتن نوترون‌های تأخیری همانطور که از شکل (۳) ملاحظه می‌شود، در هردو پوشش توان سیستم بعدازمقداری افزایش به یک پایداری نسبی می‌رسد، در صورتیکه سطح توان تولیدی در پوشش خارجی پایین تراز سطح توان در پوشش درونی است . شکل (۴) جزئیات دقیق تری از تغییرات توان در طی یک بازه زمانی را در یک نمودار لگاریتمی نشان می‌دهد. با توجه به این شکل مشخص است که پوشش حرارتی در مدت زمان کوتاهی با یک توان ثابت کار می‌کند، اما ناگهان افزایش می‌یابد و به سطح پایداری می‌رسد.

ب- برای پیش‌بینی صحیح پاسخ یک راکتور به تغییر راکتیویته در قلب لازم است که نوترون‌های آنی و تولید و واپاشی هر یک از شش گروه مولد نوترون‌های تأخیری را در نظر گرفت. بنابراین با توجه به شرایط اولیه

خواهیم داشت:

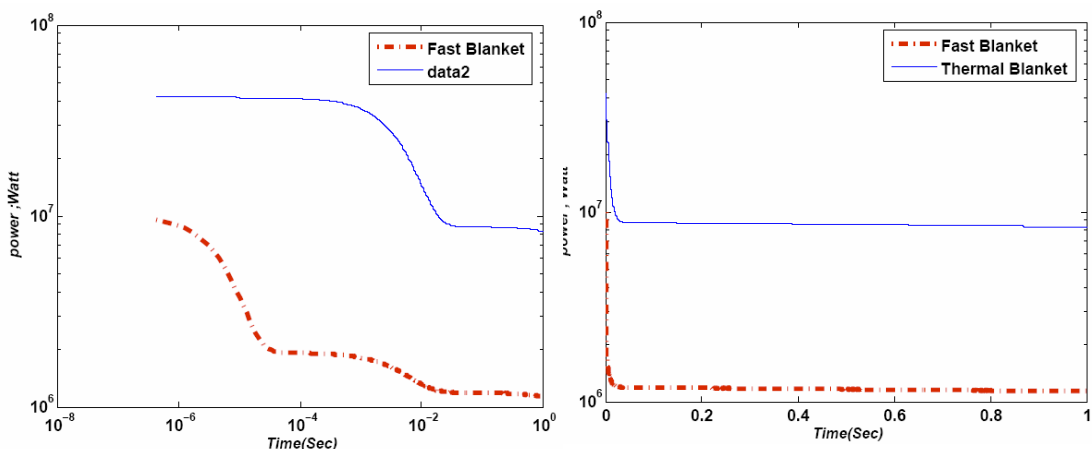
$$n_j(\tau) = Q_j \delta(\tau) + n_j^b \quad (12)$$

$$C_{ji}(\tau) = Q_j \beta_{ji} \frac{\exp(-\lambda_{ij}/\tau)}{(1 - \exp(-\lambda_{ij}\tau_p)) + \beta_{ij}} \frac{n_j^b}{\lambda_{ij}} \quad (13)$$

که  $n_j^b$  توان در حالت زمینه و  $Q_j$  انرژی آزاد شده در مدت یک پالس می‌باشد [۵].

$$n_1^b = 1.2 \text{ MeV} ; n_2^b = 8.9 \text{ MeV} ; Q_1 = 8.8 \text{ MeV} ; Q_2 = 32.8 \text{ MeV}$$

شکل‌های (۵) و (۶) نمودار تغییرات توان بر حسب زمان در دو پوشش حرارتی و سریع را نشان می‌دهد.



شکل(۵): تغییرات توان بر حسب زمان با در نظر گرفتن نوترون‌های تأخیری  
شکل(۶): تغییرات توان بر حسب زمان با در نظر

با توجه به شرایط پریودیک و انتگرال گیری از معادلات دینامیکی، ضرایب تکثیر نوترون و انرژی در دو پوشش را می‌توان محاسبه نمود، بنابراین بعد از انجام کمی محاسبات جبری خواهیم داشت:

$$E_1 = \frac{K_{12}\varepsilon_2 - \Delta K_{22}\varepsilon_1}{\Delta K_{11}\Delta K_{22} - K_{12}K_{21}} I \quad ; \quad E_2 = \frac{K_{21}\varepsilon_1 - \varepsilon_2\Delta K_{11}}{\Delta K_{11}\Delta K_{22} - K_{12}K_{21}} I \quad (14)$$

اگر سیستم مورد نظر را یک سیستم بسته یعنی  $\varepsilon_2 = 0$  در نظر بگیریم، در این صورت ضرایب تکثیر انرژی در دو پوشش را می‌توان بصورت زیر نوشت:

$$M_1 = \frac{-\Delta K_{22}}{\Delta K_{11}\Delta K_{22} - K_{12}K_{21}} \quad (15)$$

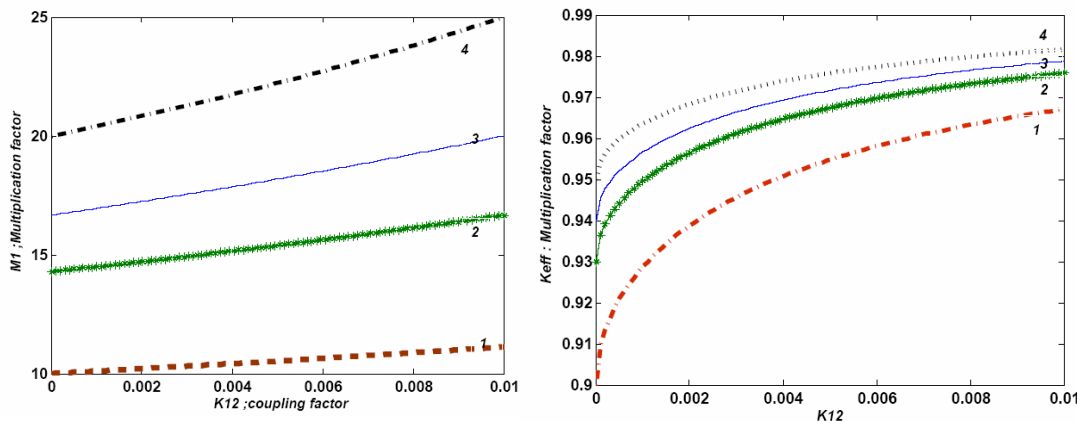
بنابراین برای ضریب تکثیر انرژی خالص کل سیستم خواهیم داشت:

$$M = \frac{K_{21} - \Delta K_{22}}{\Delta K_{11}\Delta K_{22} - K_{12}K_{21}} = \left(1 - \frac{K_{21}}{\Delta K_{22}}\right) M_1 \quad (16)$$

حال می‌توان ضریب تکثیر نوترون در سیستم مورد نظر را بصورت زیر نوشت:

$$K_{eff} - 1 = 1/2 \left\{ (\Delta K_{11} + \Delta K_{22}) + \sqrt{(\Delta K_{11} - \Delta K_{22})^2 + 4K_{12}\Delta K_{22} \frac{(1+M\Delta K_{11})}{(1+MK_{12})}} \right\} \quad (17)$$

اگر مقدار پارامتر  $M$  را  $100$  در نظر بگیریم، بر حسب مقادیر مختلف برای  $\{K_{11}, K_{22}\}$  به صورت:  $\{0.9, 0.9\}$ ,  $\{0.93, 0.93\}$ ,  $\{0.94, 0.94\}$ ,  $\{0.95, 0.95\}$ ,  $\{0.95, 0.95\}$ , در این صورت بر اساس روابط (۱۶) و (۱۷) نمودار تغییرات ضریب تکثیر نوترون بر حسب ضریب جفت شدگی را در شکل (۷)، نمودار تغییرات ضریب تکثیر انرژی در پوشش درونی بر حسب ضریب جفت شدگی را در شکل (۸) رسم و ارائه نموده ایم



شکل (۸): تغییرات ضریب تکثیر نوترون بر حسب درونی بر حسب ضریب جفت شدگی همانطوری که از شکل های (۷) و (۸) ملاحظه می شود ، با افزایش ضریب تکثیر نوترون در هر پوشش ، ضریب تکثیر انرژی و نوترون نسبت به ضریب جفت شدگی افزایش می یابد .

**نتیجه گیری:** زمانیکه نوترونهای تأخیری در نظر گرفته می شوند، سطح توان در پوشش دوم بالاتر از سطح توان در پوشش اول خواهد شد که این امر، نشان دهنده فرآیند تکثیر آبشاری نوترونها و انرژی در اینگونه سیستم ها می باشد. از طرفی این سیستم همیشه تحت شرایط زیر بحرانی عمل می کند، بنابراین از نظر ایمنی در سطح بالایی قرار دارد.

#### مراجع:

- [۱] محمدرضا اسکندری، اصول همچوشی هسته ای، انتشارات دانشگاه شیراز، ۱۳۷۴
- [۲] A.P.Barzilov, et al, Some Aspects of Nuclear Safety of a Laser System Pumped with a Twin-Core Fast Burst Reactor , proceeding of International Conference , ARS'97,(1997)
- [۳] A.P.Barzilov, et al. Hybrid Fission-Fusion Reactor Initiated by a Laser // Proc .Intern .Conf.ICENES'96, Odninsk, 1996
- [۴] A.P.Barzilov, et al. Concept of Coupled Blanket System for the Hybrid Fission-Fusion Reactor // Proc .Intern .Conf. SOFE'95, 1995
- [۵] A.P.Barzilov, et al. Neutronic Analysis for a Coupled Blanket System of the Hybrid Fission-Fusion Reactor // IPPE #2522, 1996